



NetWorks Sp. z o.o.  
Laboratorium Badań Środowiskowych  
ul. Józefa Piusa Dziekońskiego 3  
00-728 Warszawa  
e-mail: [Laboratorium@networks.pl](mailto:Laboratorium@networks.pl)



AB 419

S P R A W O Z D A N I E 9400/2024/OS  
Z POMIARÓW PÓŁ ELEKTROMAGNETYCZNYCH  
WYKONANYCH DLA POTRZEB OCHRONY ŚRODOWISKA

Badany obiekt: Instalacja radiokomunikacyjna Orange Polska S.A.  
Numer i nazwa: 2842 (24103N!) TARLOW (KTB\_TARLOW\_TARLOW)  
Adres: WÓLKA TARŁOWSKA DZ.63,Powiat opatowski, WOJ. ŚWIĘTOKRZYSKIE

Data wykonania pomiarów: 2024-11-06

Sprawozdanie z badań bez pisemnej zgody laboratorium nie może być powielane inaczej niż w całości.  
Wynik przedstawione w niniejszym sprawozdaniu odnoszą się wyłącznie do badanego obiektu i do warunków i konfiguracji urządzeń w dniu wykonywania pomiarów.

**1. Właściciel badanego obiektu:**

Orange Polska S.A., Al. Jerozolimskie 160, 02-326 Warszawa

**2. Zleceniodawca:**

Orange Polska S.A., Al. Jerozolimskie 160, 02-326 Warszawa

**3. Przedstawiciel zleceniodawcy:**

NetWorks Sp. z o.o.

**4. Zakres zlecenia:**

Wykonanie badania i opracowanie sprawozdania z pomiarów natężenia pola elektrycznego i pola magnetycznego dla instalacji radiokomunikacyjnej Orange Polska S.A. zlokalizowanej w miejscowości WÓŁKA TARŁOWSKA DZ.63.

**5. Cel zlecenia:**

Wykonanie pomiarów pól elektromagnetycznych w otoczeniu instalacji radiokomunikacyjnej 2842 (24103N!) TARLOW (KTB\_TARLOW\_TARLOW) w odniesieniu do wymagań określonych w *Rozporządzeniu Ministra Klimatu z dnia 17 lutego 2020 r. w sprawie sposobów sprawdzania dotrymania dopuszczalnych poziomów pól elektromagnetycznych w środowisku (Dz.U. 2022 poz. 2630)*.

**6. Pomiary zostały wykonane przez:**

Papka Paweł  
Supernak Jacek

**7. Informacje o źródłach pól elektromagnetycznych**

**7.1. Sposób identyfikacji badanych źródeł pól elektromagnetycznych**

Identyfikacji źródeł i parametrów technicznych dokonano na podstawie analizy dokumentacji dotyczącej zlecenia oraz obserwacji miejsca wykonywania badań.

**7.2. Opis miejsca zainstalowania anten i urządzeń technicznych. Opis obiektu badań i jego otoczenia**

Instalacja radiokomunikacyjna zlokalizowana jest na terenie ogrodzonym. Anteny zawieszono na wieży kratowej. Urządzenia sterujące oraz zasilające zainstalowano w kontenerze u podstawy wieży. Wokół instalacji znajdują się wieś, tereny rolnicze, tereny zielone.

Instalacja radiokomunikacyjna jest obiektem bezobsługowym. Okresowe stanowiska pracy związane są z prowadzonymi w zależności od potrzeb konserwacjami, przeglądami, strojeniem i naprawami.

### 7.3. Parametry techniczne źródła pola elektromagnetycznego

Dane przedstawiające maksymalne parametry pracy instalacji przekazane przez zleceniodawcę:

Parametry systemu nadawczo-odbiorczego:

Charakterystyka promieniowania		kierunkowa					
Rzeczywisty czas pracy [h/dobę]		24					
Warunki pracy		znamionowe					
Rodzaj wytwarzanego pola		stacjonarne					
Lp.	Częstotliwość lub zakresy częstotliwości pracy [MHz]	Typ/producent anteny	liczba anten	Azymut [°]	kąt pochylenia [°]	Wysokość środka elektrycznego anteny [m n.p.t.]	Równoważna moc promieniowana izotropowo (EIRP) [W]
1	800/900/1800/2100	ASI4518R10v18 Huawei	1	30	0-14**/0-14**/0-10**/0-10**	49	17906
2	800/900/1800/2100	ASI4518R10v18 Huawei	1	150	0-14**/0-14**/0-10**/0-10**	49	17906
3	800/900/1800/2100	ASI4518R10v18 Huawei	1	270	0-14**/0-14**/0-10**/0-10**	49	17906

\* wskazane wartości kąta pochylenia anten, zgodnie z informacją uzyskaną od zleceniodawcy, są wartościami stałymi

\*\* pomiary wykonano zgodnie z pkt 13., ppkt 2 załącznika do Rozporządzenia Ministra Klimatu z dnia 17 lutego 2020 r. (Dz. U. 2022, poz. 2630).

Parametry radiolinii:

Charakterystyka promieniowania				kierunkowa			
Rzeczywisty czas pracy [h/dobę]				24			
Warunki pracy				znamionowe			
Rodzaj wytwarzanego pola				stacjonarne			
Lp.	Linia radiowa			Antena			
	Typ/ Producent	Częstotliwość pracy [GHz]	Równoważna moc promieniowana izotropowo (EIRP) [W]	Typ/ producent	Średnica anteny [m]	Azymut [°]	Wysokość zainstalowania n.p.t [m]
1.	RTN XMC-5D 23G 28MHz XPIC/ RTN 380AX DC 70/80GHz 500MHz Huawei	23/80	5637/6310	A23D80S06 Huawei	0.6	162	46

### 7.4 Inne źródła pól elektromagnetycznych

Na podstawie informacji otrzymanych od użytkownika oraz obserwacji otoczenia miejsca wykonywania pomiarów nie stwierdzono występowania innych źródeł pola-EM

## 8. Opis pomiarów

### 8.1. Metoda badań

Zgodna z rozporządzeniem Ministra Klimatu z dnia 17 lutego 2020 r. w sprawie sposobów sprawdzania dotrzymania dopuszczalnych poziomów pól elektromagnetycznych w środowisku (Dz.U. 2022 poz. 2630), określona w pkt 25 ppkt 1 załącznika do niniejszego rozporządzenia.

### 8.2. Termin pomiarów i warunki środowiskowe

Podczas wykonywania pomiarów pól elektromagnetycznych nie występowały opady atmosferyczne. Wyniki pomiaru parametrów pogodowych przedstawia poniższa tabela:

Data [rrrr-mm-dd]	Godzina [hh:mm-hh:mm]	Warunki środowiskowe			
		Temperatura [°C]		Wilgotność względna [%]	
		Przed pomiarem	Po pomiarach	Przed pomiarem	Po pomiarach
2024-11-06	08:35-09:45	0.7	2.3	72.2	72.3

Sprawozdanie z badań bez pisemnej zgody laboratorium nie może być powielane inaczej niż w całości.

Wynik przedstawione w niniejszym sprawozdaniu odnoszą się wyłącznie do badanego obiektu i do warunków i konfiguracji urządzeń w dniu wykonywania pomiarów.

Przedstawione wyżej warunki środowiskowe, występujące podczas wykonywania pomiarów pól elektromagnetycznych, są zgodne ze specyfikacją techniczną użytego zestawu pomiarowego.

### 8.3. Warunki pracy urządzeń nadawczych

Podczas pomiarów w przypadku uzyskania wyniku pomiaru szerokopasmowego wykonanego zastosowaną metodą, dla zakresów częstotliwości od 10 MHz do 300 GHz, powiększonego o rozszerzoną niepewność pomiaru  $U$  dla współczynnika rozszerzenia  $k = 2$  przekraczającego 70% najniższej dopuszczalnej wartości składowej elektrycznej lub magnetycznej pola dla objętych pomiarami zakresów częstotliwości, uwzględnia się poprawki pomiarowe przekazane przez zleceniodawcę, umożliwiające uwzględnienie maksymalnych parametrów pracy instalacji zgodnie z pkt 7 załącznika do Rozporządzeniem Ministra Klimatu z dnia 17 lutego 2020 r. w sprawie sposobów sprawdzania dotrzymania dopuszczalnych poziomów pól elektromagnetycznych w środowisku (Dz. U. 2022, poz. 2630) zaznaczając, że wymagane jest wykonanie pomiaru z wykorzystaniem miernika selektywnego. W przypadku uzyskania wyniku pomiaru szerokopasmowego wykonanego zastosowaną metodą, dla zakresów częstotliwości od 10 MHz do 300 GHz, powiększonego o rozszerzoną niepewność pomiaru  $U$  dla współczynnika rozszerzenia  $k = 2$  nieprzekraczającego 70% najniższej dopuszczalnej wartości składowej elektrycznej lub magnetycznej pola dla objętych pomiarami zakresów częstotliwości, nie uwzględnia się poprawek pomiarowych.

### 8.4. Wyposażenie pomiarowe

Zestaw pomiarowy służący do pomiaru natężenia składowej elektrycznej pola elektromagnetycznego złożony z szerokopasmowego miernika i sondy pomiarowej:

Oznaczenie miernika	Producent	Model	Numer fabryczny	Oznaczenie sondy	Producent	Model	Numer fabryczny
MF-02	Narda Safety Test Solution	Miernik pól elektromagnetycznych Narda FieldMan	B-0120	SF-04	Narda Safety Test Solution	Sonda EFD-0691	A-0156

Mierniki natężenia pola elektromagnetycznego podlegają okresowemu sprawdzeniu zgodnie z procedurą wewnętrzną P-03 i PB-01. Świadectwo wzorcowania zestawu pomiarowego z dnia 13 września 2024 o numerze LWiMP/P/328/24 wydane przez Politechnika Wrocławską.

Data ważności świadectwa wzorcowania: 13 września 2026 (zgodnie z procedurą wewnętrzną P-03).

Oznaczenie miernika	Producent	Model	Numer fabryczny	Oznaczenie sondy	Producent	Model	Numer fabryczny
MF-02	Narda Safety Test Solution	Miernik pól elektromagnetycznych Narda FieldMan	B-0120	SF-03	Narda Safety Test Solution	Sonda EFD-6091	A-0061

Mierniki natężenia pola elektromagnetycznego podlegają okresowemu sprawdzeniu zgodnie z procedurą wewnętrzną P-03 i PB-01. Świadectwo wzorcowania zestawu pomiarowego z dnia 6 grudnia 2023 o numerze LWiMP/W/465/23 wydane przez Politechnika Wrocławską.

Data ważności świadectwa wzorcowania: 6 grudnia 2025 (zgodnie z procedurą wewnętrzną P-03).

#### Termohigrometr:

Oznaczenie:	TH-29	Producent:	AZ INSTRUMENT CORP	Model:	Termohigrometr AZ8706
-------------	-------	------------	--------------------	--------	-----------------------

Data ważności świadectwa wzorcowania: 19 października 2025 (zgodnie z procedurą wewnętrzną P-03).

#### Dalmierz:

Oznaczenie	Producent	Typ	Numer seryjny	Nr świadectwa wzorcowania	Data świadectwa wzorcowania
D-05	Leica	Dalmierz Leica Disto X310	843960151	1146.5-M11-4180-396/15	8 kwietnia 2015

Data ważności świadectwa wzorcowania: 8 kwietnia 2025 (zgodnie z procedurą wewnętrzną P-03).

#### Odbiornik GNSS:

Odbiornik GNSS wbudowany w miernik natężenia pola elektromagnetycznego użyty podczas pomiarów	Producent		Model		
	UBlox		NEO-M8T		

Odbiorniki podlegają okresowemu sprawdzeniu zgodnie z procedurą wewnętrzną P-03.

Sprawozdanie z badań bez pisemnej zgody laboratorium nie może być powielane inaczej niż w całości.

Wynik przedstawione w niniejszym sprawozdaniu odnoszą się wyłącznie do badanego obiektu i do warunków i konfiguracji urządzeń w dniu wykonywania pomiarów.

## 9. Wyniki pomiarów

### Pole elektryczne

Nr pionu	Opis umiejscowienia pionu (punktu) pomiarowego	Wysokość pomiaru [m]	Zmierzona wartość natężenia pola elektrycznego E [V/m] <sup>1,5</sup>			Wartość natężenia pola elektrycznego powiększon a o niepewność pomiaru <sup>4</sup> E [V/m]	Wskaźnikowa wartość poziomu emisji pól elektromagne tycznych WME <sup>3</sup>	Współrzędne geograficzne pionu (punktu) pomiarowego <sup>2</sup>
			Sonda SF-04	Sonda SF- 03	Wartość			
1	GKP w odległości 12m od anteny sektorowej az. 30°	0.3-2.0	<1.0*	<1.0*	<1.0*	1.3	0.05	50°59'45.2" 21°44'37.0"
2	GKP w odległości 47m od anteny sektorowej az. 30°	0.3-2.0	<1.0*	<1.0*	<1.0*	1.3	0.05	50°59'46.0" 21°44'37.7"
3	GKP w odległości 85m od anteny sektorowej az. 30°	0.3-2.0	<1.0*	<1.0*	<1.0*	1.3	0.05	50°59'47.0" 21°44'38.8"
4	GKP w odległości 21m od anteny sektorowej az. 150°	0.3-2.0	<1.0*	<1.0*	<1.0*	1.3	0.05	50°59'44.2" 21°44'37.0"
5	GKP w odległości 48m od anteny sektorowej az. 150°	0.3-2.0	<1.0*	<1.0*	<1.0*	1.3	0.05	50°59'43.4" 21°44'37.7"
6	GKP w odległości 87m od anteny sektorowej az. 150°	0.3-2.0	<1.0*	<1.0*	<1.0*	1.3	0.05	50°59'42.4" 21°44'38.8"
7	GKP w odległości 30m od anteny radioliniowej az. 162°	0.3-2.0	<1.0*	<1.0*	<1.0*	1.3	0.05	50°59'43.8" 21°44'37.0"
8	GKP w odległości 64m od anteny radioliniowej az. 162°	0.3-2.0	<1.0*	<1.0*	<1.0*	1.3	0.05	50°59'42.7" 21°44'37.7"
9	GKP w odległości 11m od anteny sektorowej az. 270°	0.3-2.0	<1.0*	<1.0*	<1.0*	1.3	0.05	50°59'44.5" 21°44'35.9"
10	GKP w odległości 39m od anteny sektorowej az. 270°	0.3-2.0	<1.0*	<1.0*	<1.0*	1.3	0.05	50°59'44.5" 21°44'34.4"
11	GKP w odległości 85m od anteny sektorowej az. 270°	0.3-2.0	<1.0*	<1.0*	<1.0*	1.3	0.05	50°59'44.5" 21°44'32.3"
12	PKP na az. 250° w odległości 63m od anteny sektorowej az. 270°	0.3-2.0	<1.0*	<1.0*	<1.0*	1.3	0.05	50°59'43.8" 21°44'33.4"
13	PKP na az. 333° w odległości 70m od anteny sektorowej az. 270°	0.3-2.0	<1.0*	<1.0*	<1.0*	1.3	0.05	50°59'46.7" 21°44'34.8"
14	PKP na az. 48° w odległości 63m od anteny sektorowej az. 30°	0.3-2.0	<1.0*	<1.0*	<1.0*	1.3	0.05	50°59'46.0" 21°44'39.1"
15	PKP na az. 104° w odległości 69m od anteny	0.3-2.0	<1.0*	<1.0*	<1.0*	1.3	0.05	50°59'44.2" 21°44'40.2"

Sprawozdanie z badań bez pisemnej zgody laboratorium nie może być powielane inaczej niż w całości.  
Wynik przedstawione w niniejszym sprawozdaniu odnoszą się wyłącznie do badanego obiektu i do warunków i konfiguracji urządzeń w dniu wykonywania pomiarów.

	sektorowej az. 150°							
-	GKP w odległości 284m od anteny sektorowej az. 30°	2.0	<b>1.6</b>	<b>1.6</b>	<b>1.6</b>	2.1	0.07	50°59'52.8" 21°44'43.8"
-	GKP w odległości 360m od anteny sektorowej az. 150°	0.3-2.0	<1.0*	<1.0*	<1.0*	1.3	0.05	50°59'34.4" 21°44'46.0"
-	GKP w odległości 354m od anteny sektorowej az. 270°	0.3-2.0	<1.0*	<1.0*	<1.0*	1.3	0.05	50°59'44.5" 21°44'18.2"

**Pole magnetyczne (wyznaczone na podstawie pomiaru wartości natężenia pola elektrycznego)**

Nr pionu	Opis umiejscowienia pionu (punktu) pomiarowego	Wysokość pomiaru [m]	Wartość natężenia pola magnetycznego H [A/m] <sup>1</sup>			Wartość natężenia pola magnetycznego powiększona o niepewność pomiaru <sup>4</sup> H [A/m]	Wskaźnik wa wartość poziomą emisji pól elektromag- netycznych WM <sub>H</sub> <sup>3</sup>	Współrzędne geograficzne pionu (punktu) pomiarowego <sup>2</sup>
			Sonda SF-04	Sonda SF-03	Wartość			
1	GKP w odległości 12m od anteny sektorowej az. 30°	0.3-2.0	<0.003*	<0.003*	<0.003*	0.003	0.05	50°59'45.2" 21°44'37.0"
2	GKP w odległości 47m od anteny sektorowej az. 30°	0.3-2.0	<0.003*	<0.003*	<0.003*	0.003	0.05	50°59'46.0" 21°44'37.7"
3	GKP w odległości 85m od anteny sektorowej az. 30°	0.3-2.0	<0.003*	<0.003*	<0.003*	0.003	0.05	50°59'47.0" 21°44'38.8"
4	GKP w odległości 21m od anteny sektorowej az. 150°	0.3-2.0	<0.003*	<0.003*	<0.003*	0.003	0.05	50°59'44.2" 21°44'37.0"
5	GKP w odległości 48m od anteny sektorowej az. 150°	0.3-2.0	<0.003*	<0.003*	<0.003*	0.003	0.05	50°59'43.4" 21°44'37.7"
6	GKP w odległości 87m od anteny sektorowej az. 150°	0.3-2.0	<0.003*	<0.003*	<0.003*	0.003	0.05	50°59'42.4" 21°44'38.8"
7	GKP w odległości 30m od anteny radioliniowej az. 162°	0.3-2.0	<0.003*	<0.003*	<0.003*	0.003	0.05	50°59'43.8" 21°44'37.0"
8	GKP w odległości 64m od anteny radioliniowej az. 162°	0.3-2.0	<0.003*	<0.003*	<0.003*	0.003	0.05	50°59'42.7" 21°44'37.7"
9	GKP w odległości 11m od anteny sektorowej az. 270°	0.3-2.0	<0.003*	<0.003*	<0.003*	0.003	0.05	50°59'44.5" 21°44'35.9"
10	GKP w odległości 39m od anteny sektorowej az. 270°	0.3-2.0	<0.003*	<0.003*	<0.003*	0.003	0.05	50°59'44.5" 21°44'34.4"

Sprawozdanie z badań bez pisemnej zgody laboratorium nie może być powielane inaczej niż w całości.  
Wynik przedstawione w niniejszym sprawozdaniu odnoszą się wyłącznie do badanego obiektu i do warunków i konfiguracji urządzeń w dniu wykonywania pomiarów.

11	GKP w odległości 85m od anteny sektorowej az. 270°	0.3-2.0	<0.003*	<0.003*	<0.003*	0.003	0.05	50°59'44.5" 21°44'32.3"
12	PKP na az. 250° w odległości 63m od anteny sektorowej az. 270°	0.3-2.0	<0.003*	<0.003*	<0.003*	0.003	0.05	50°59'43.8" 21°44'33.4"
13	PKP na az. 333° w odległości 70m od anteny sektorowej az. 270°	0.3-2.0	<0.003*	<0.003*	<0.003*	0.003	0.05	50°59'46.7" 21°44'34.8"
14	PKP na az. 48° w odległości 63m od anteny sektorowej az. 30°	0.3-2.0	<0.003*	<0.003*	<0.003*	0.003	0.05	50°59'46.0" 21°44'39.1"
15	PKP na az. 104° w odległości 69m od anteny sektorowej az. 150°	0.3-2.0	<0.003*	<0.003*	<0.003*	0.003	0.05	50°59'44.2" 21°44'40.2"
-	GKP w odległości 284m od anteny sektorowej az. 30°	2.0	<b>0.004</b>	<b>0.004</b>	0.004	0.005	0.08	50°59'52.8" 21°44'43.8"
-	GKP w odległości 360m od anteny sektorowej az. 150°	0.3-2.0	<0.003*	<0.003*	<0.003*	0.003	0.05	50°59'34.4" 21°44'46.0"
-	GKP w odległości 354m od anteny sektorowej az. 270°	0.3-2.0	<0.003*	<0.003*	<0.003*	0.003	0.05	50°59'44.5" 21°44'18.2"

GKP – Główny Kierunek Pomiarowy

PKP – Pomocniczy Kierunek Pomiarowy

<sup>1</sup> wyniki oznaczone \* są wynikami poniżej czułości zestawu pomiarowego i są wynikami spoza zakresu akredytacji. Do obliczenia wyniku skorygowanego przyjęto wartość skorelowaną z rzeczywistym wynikiem pomiaru - dolną granicę akredytowanego zakresu pomiarowego metody

<sup>2</sup> współrzędne geograficzne pozyskane metodą pomiaru bezpośredniego

<sup>3</sup> do wyznaczenia wartości wskaźnikowej  $W_{ME}$  i  $W_{MH}$  przyjęto na podstawie uzgodnień z klientem oraz rozpoznania źródeł, jako wartości dopuszczalne pola elektrycznego i magnetycznego odpowiednio 28 V/m i 0,073 A/m.

<sup>4</sup> do wyznaczenia niepewności dla wyników poniżej czułości zestawu pomiarowego, przyjęto niepewność dla minimalnej wartości z zakresu pomiarowego.

<sup>5</sup> maksymalna wartość chwilowa

Niepewność oszacowano zgodnie z dokumentem P-03 „Procedura nadzoru nad wyposażeniem” w postaci niepewności rozszerzonej wynikającej z niepewności standardowej pomnożonej przez współczynnik rozszerzenia  $k=2$ .

Całkowita szacowana niepewność rozszerzona składowej E wynosi odpowiednio:

sonda SF-04: 29.2% dla częstotliwości do 4 GHz, sonda SF-03: 28.8% dla częstotliwości do 4 GHz

Pomiar wykonany metodą 2 sond, opisaną w artykule Medycyna Pracy 2015;66(5):701–712 „Optymalizacja metodyki pomiaru wieloczęstotliwościowego pola elektromagnetycznego stacji bazowych telefonii komórkowej”.

Umiejscowienie pionów (punktów) pomiarowych przedstawiono w załączniku nr 2 do niniejszego sprawozdania.

## 10. Omówienie wyników pomiarów

W związku z tym, że żadna z wartości zmierzonych, udokumentowanych w tabelach w pkt. 9, uzyskanych w skutek zastosowania pomiaru szerokopasmowego, powiększonego o rozszerzoną niepewność pomiaru U dla współczynnika rozszerzenia  $k = 2$  nie przekroczyła

Sprawozdanie z badań bez pisemnej zgody laboratorium nie może być powielane inaczej niż w całości.

Wynik przedstawione w niniejszym sprawozdaniu odnoszą się wyłącznie do badanego obiektu i do warunków i konfiguracji urządzeń w dniu wykonywania pomiarów.

70% najniższej dopuszczalnej wartości składowej elektrycznej lub magnetycznej pola dla objętych pomiarami zakresów częstotliwości, nie uwzględnia się poprawek pomiarowych.

W wyniku zastosowania sposobu sprawdzenia dotrzymania dopuszczalnych poziomów pól elektromagnetycznych w środowisku, zgodnie pkt 25 ppkt 1 Rozporządzenia Ministra Klimatu z dnia 17 lutego 2020 r. (Dz. U. 2022, poz. 2630), w związku z tym, że żadna z wartości wskaźnikowych, udokumentowanych w tabelach w pkt. 9 nie przekracza wartości 1, stwierdza się, że w miejscach, w których wykonano pomiary w otoczeniu instalacji radiokomunikacyjnej 2842 (24103N!) TARLOW (KTB\_TARLOW\_TARLOW), dopuszczalne poziomy pól elektromagnetycznych w środowisku należy uznać za dotrzymane.

## **11. Podstawa prawna**

- 1) Ustawa z dnia 27 kwietnia 2001 r. Prawo ochrony środowiska (Dz.U. 2024 poz. 54 z późn. zm.)
- 2) Rozporządzenie Ministra Zdrowia z dnia 17 grudnia 2019 r. w sprawie dopuszczalnych poziomów pól elektromagnetycznych w środowisku (Dz. U. 2019, poz. 2448)
- 3) Rozporządzenie Ministra Klimatu z dnia 17 lutego 2020 r. w sprawie sposobów sprawdzania dotrzymania dopuszczalnych poziomów pól elektromagnetycznych w środowisku (Dz. U. 2022, poz. 2630),
- 4) Akredytacja nr AB 419 wydana przez Polskie Centrum Akredytacji (wydanie 22, z dnia 9 stycznia 2024 r.)

## **12. Spis załączników**

Załącznik 1. Lokalizacja obiektu badań  
Załącznik 2. Usytuowanie pionów (punktów) pomiarowych  
Załącznik 3. Dokumentacja fotograficzna obiektu badań

## **13. Data wydania i autoryzowania sprawozdania**

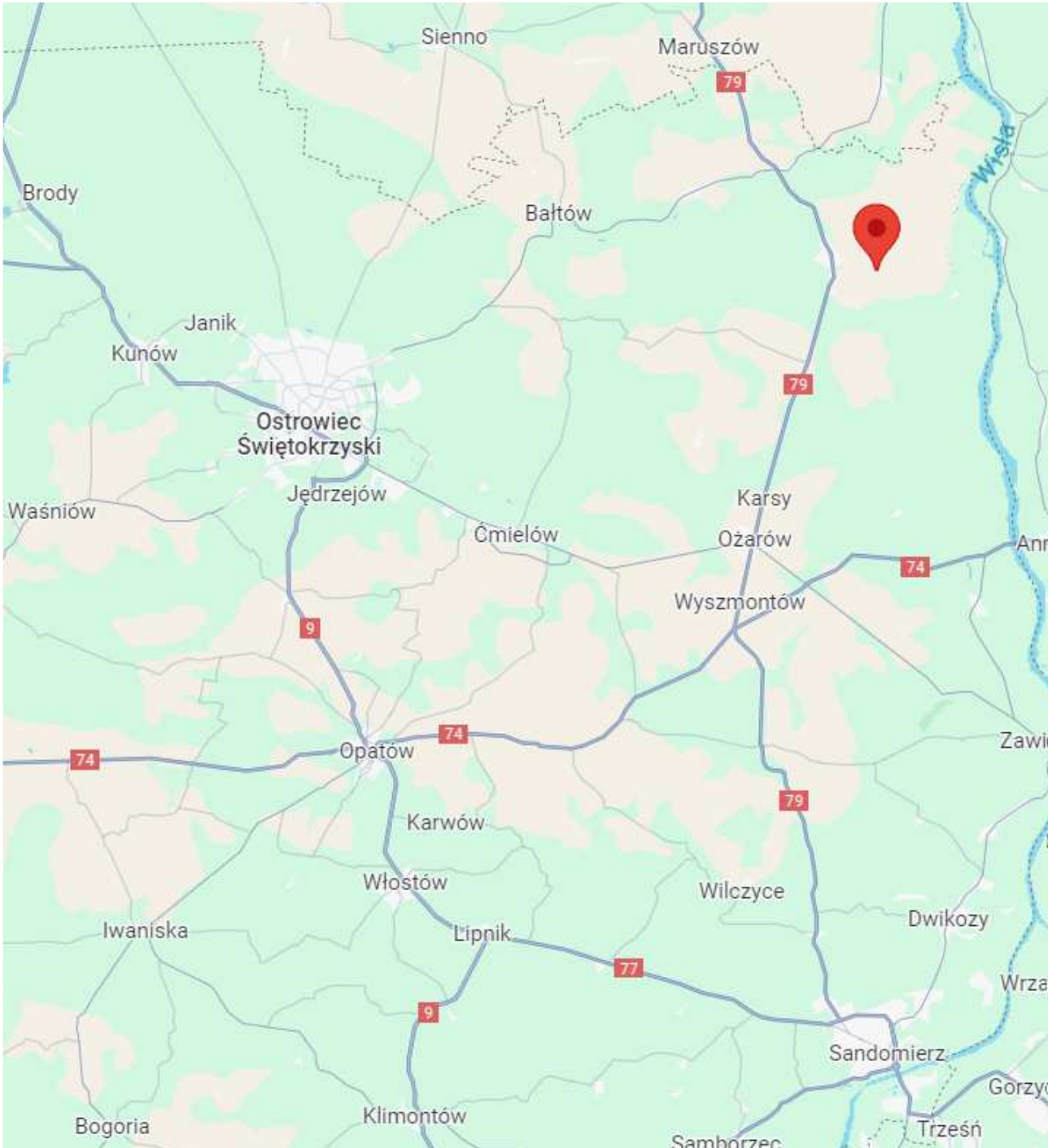
Obliczenia i sprawozdanie wykonał :

Sprawozdanie autoryzował:

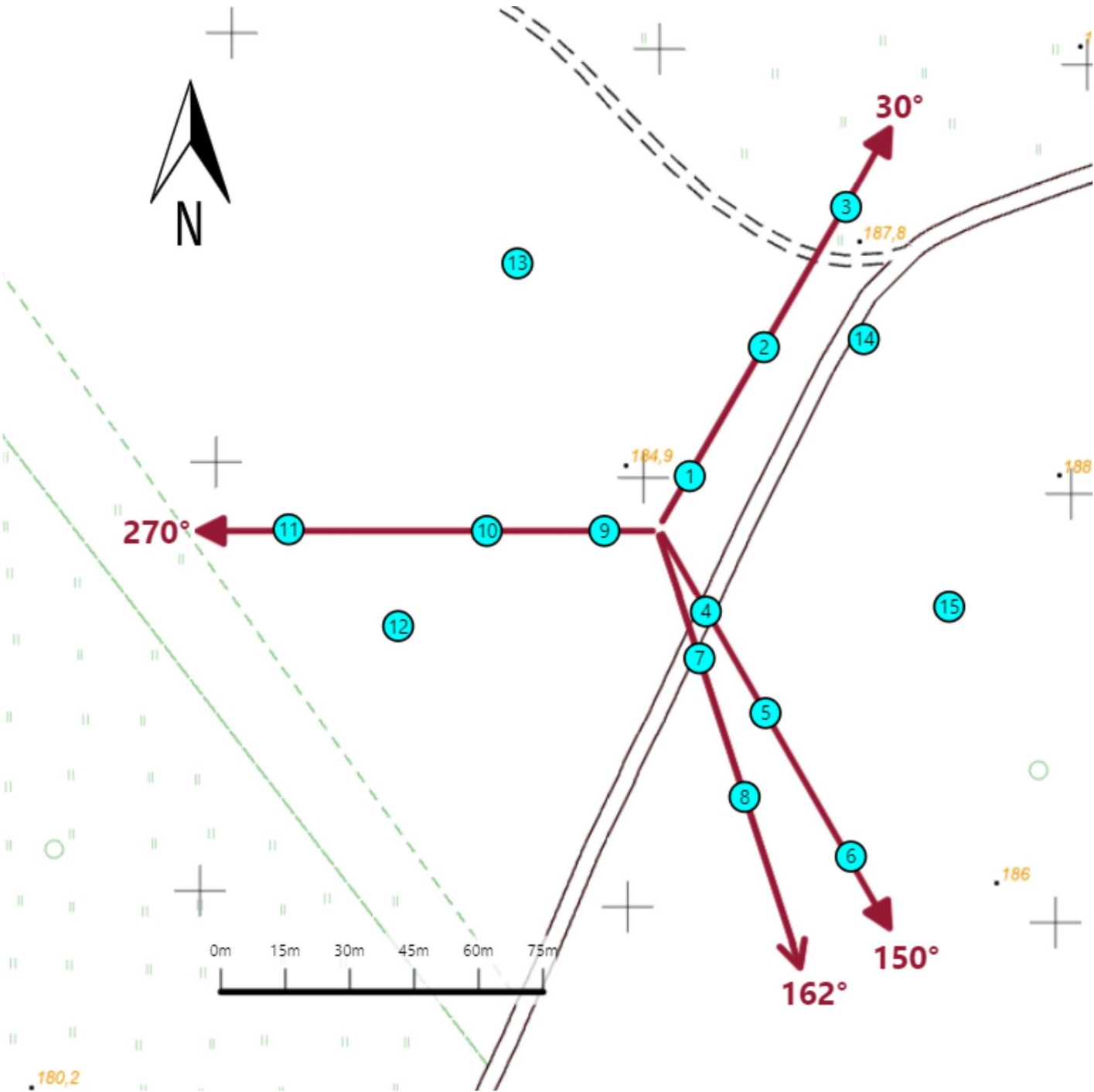
**Koniec sprawozdania**


Sprawozdanie z badań bez pisemnej zgody laboratorium nie może być powielane inaczej niż w całości.  
Wynik przedstawione w niniejszym sprawozdaniu odnoszą się wyłącznie do badanego obiektu i do warunków i konfiguracji urządzeń w dniu wykonywania pomiarów.





Załącznik nr 1	<div>Instalacja radiokomunikacyjna Orange Polska S.A. 2842 (24103N!) TARLOW (KTB_TARLOW_TARLOW)</div> <div>Lokalizacja instalacji</div>
----------------	---



Załącznik nr 2	Instalacja radiokomunikacyjna Orange Polska S.A. KTB_TARLOW_TARLOW (24103N!) Usytuowanie pionów pomiarowych w otoczeniu instalacji radiokomunikacyjnej
	Legenda: <div><div> Brak dostępu</div><div> Pion pomiarowy</div><div> Kierunek oddziaływania anten sektorowych</div><div> Kierunek oddziaływania anten radioliniowych</div></div>



Załącznik nr 3

Instalacja radiokomunikacyjna Orange Polska S.A.  
2842 (24103N!) TARLOW (KTB\_TARLOW\_TARLOW)

Dokumentacja fotograficzna